

第九讲

$$\frac{H[\sigma]}{T} = \int d^d x [a_0 + \frac{1}{2} a_2 \sigma^2 + \frac{1}{4!} a_4 \sigma^4 + \frac{1}{2} c (\nabla \sigma)^2 + \dots] = S$$

根据 $\delta S = 0$ 找到最可能位型 $\rho(\sigma) \propto e^{-S(\sigma)}$

在 $T > T_c$ 位型 $\vec{\sigma}(x) = 0$ 是最可能的，

其它位型围绕基涨落： $\sigma_{ik} = \sum_{\vec{x}} e^{-i\vec{k} \cdot \vec{x}} \sigma_i(\vec{x})$ 是“简正坐标”

$$\frac{H[\sigma]}{T} = a_0 L^d + \frac{1}{2L^d} \sum_{k \leq 1} \sum_{i=1}^n (a_2 + ck^2) |\sigma_{ik}|^2$$

- $\langle \sigma_{ik} \rangle = 0$

- $\langle |\sigma_{ik}|^2 \rangle = \frac{L^d}{(a_2 + ck^2)}$

- $\frac{1}{2} L^d = T a_0 L^d - \frac{1}{2} T \sum_{k \leq 1} n \ln \left(\frac{2\pi L^d}{a_2 + ck^2} \right)$

$$c = -T \frac{\partial f}{\partial T^2} \quad \frac{1}{2} = \left(\frac{a_2}{c} \right)^{\frac{1}{2}} |T - T_c|^{\frac{1}{2}}$$

$$c \propto \xi^{4-d} \propto (T - T_c)^{-\frac{4-d}{2}} \Rightarrow \alpha = 2 - \frac{d}{2}$$

$T < T_c$ 的情况

最可能位型： $\vec{\sigma}(x) = (m_0 + \frac{h}{2a_4 m_0^2}) \hat{m} \equiv \vec{m} = (m_0 + \frac{h}{2a_4 m_0^2}, 0, 0, \dots)$, $m_0^2 = -\frac{a_2}{a_4}$

考虑围绕 \vec{m} 涨落 $\vec{\sigma}(x) = \vec{m} + \Delta \vec{\sigma}(x)$

$$\frac{H[\sigma]}{T} = \frac{f_0 L^d}{T} + \frac{1}{2L^d} \sum_{\substack{k \leq 1 \\ k \neq 0}} \left[\left(2a_4 m^2 + \frac{h}{m} + ck^2 \right) |\sigma_{ik}|^2 + \left(\frac{h}{m} + ck^2 \right) \sum_{i=2}^n |\sigma_{ik}|^2 \right]$$

除 $i=1, k=0$ 外， $\vec{\sigma}(x)$ 与 $\Delta \vec{\sigma}(x)$ 付立叶变换相同： σ_{ik}

$$\begin{aligned}
 \bullet G_1(\vec{k}) &= \langle |\sigma_{1\vec{k}}|^2 \rangle = \frac{L^d}{[2\alpha_2(T_C-T) + ck^2]} \quad (\text{若 } h=0) \\
 \bullet G_L(\vec{k}) &= \langle |\sigma_{i+1,\vec{k}}|^2 \rangle = \frac{L^d}{[\frac{h}{m} + ck^2]}, \\
 \bullet f L^d &= \frac{f_0 L^d}{T} - \frac{T}{2} \sum_{k \leq 1} \left[\ln \frac{2\pi}{2\alpha_2 + ck^2} + (n-1) \ln \frac{2\pi}{ck^2} \right] \quad (\text{若 } h=0) \\
 P_{fi} &\propto \langle |\sigma_{i\vec{k}}|^2 \rangle, \quad i=1, 2, \dots, n
 \end{aligned}$$

假设 $\langle \sigma \rangle$ 是自发磁化 (不为零时表示磁缺), 定义 **connected 关联函数**

$$C_i(\vec{x}) = \langle (\sigma_i(0) - \langle \sigma \rangle)(\sigma_i(\vec{x}) - \langle \sigma \rangle) \rangle = \langle \Delta \sigma_i(0) \cdot \Delta \sigma_i(\vec{x}) \rangle$$

是自旋相对于 $\langle \sigma \rangle$ 的 **涨落** **关联函数**.

其付之叶变换

$$G_i(\vec{k}) = \int d^d x C_i(\vec{x}) e^{-i\vec{k} \cdot \vec{x}} \quad \text{也称为关联函数.}$$

由于 $\langle \sigma \rangle$ 与 \vec{x} 无关, 因此 $\sigma_i(\vec{x}) - \langle \sigma \rangle$ 与 $\sigma_i(\vec{x})$ 在 $k \neq 0$ 时有相同的 G_{ik}

对于 $\vec{k} \neq 0$ 的 modes, 有

$$\langle |\sigma_{i\vec{k}}|^2 \rangle = \int d^d x_1 d^d x_2 \langle \sigma_i(\vec{x}_1) \sigma_i(\vec{x}_2) \rangle e^{i\vec{k} \cdot (\vec{x}_1 - \vec{x}_2)} = V \int d^d x \langle \sigma_i(0) \sigma_i(\vec{x}) \rangle e^{-i\vec{k} \cdot \vec{x}} = V G_i(\vec{k})$$

这里 利用了平移不变性. $\langle \sigma_i(\vec{x}_1) \sigma_i(\vec{x}_2) \rangle = \langle \sigma_i(0) \sigma_i(\vec{x}_2 - \vec{x}_1) \rangle$

在 T_C 处, 当 $\vec{k} \rightarrow 0$, P_{fi} 发射, $\Rightarrow G(k \rightarrow 0) \propto k^{-2+y}$ 发射 (实验结果)

$$G(k \rightarrow 0) = \int d^d x \langle (\sigma(0) - \langle \sigma \rangle)(\sigma(\vec{x}) - \langle \sigma \rangle) \rangle$$

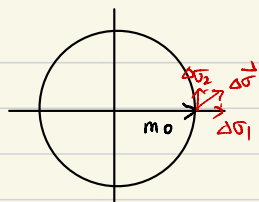
由于 $\sigma(\vec{x})$ 与 $\sigma(0)$ 单身不发射. 所以是 $\sigma(0) - \langle \sigma \rangle$ 与 $\sigma(\vec{x}) - \langle \sigma \rangle$ 在很大区域内同向造成.

回到高斯近似. $T > T_C$: $G_i(\vec{k}) = \frac{\langle |\sigma_{i\vec{k}}|^2 \rangle}{V} = (\alpha_2 + ck^2)^{-1}$

$$\lim_{T \rightarrow T_C} V G(\vec{k}) \propto k^{-2} \quad (\because \alpha_2 \propto T - T_C) \quad \Rightarrow y = 0$$

$$\lim_{k \rightarrow 0} V G(\vec{k}) \propto (T - T_C)^{-1} \propto \chi \quad \Rightarrow \gamma = 1$$

$T < T_c$: 区分纵模与横模:



$$\lim_{k \rightarrow T_c} G_1(\vec{k}) \propto k^2 \Rightarrow \gamma = 0$$

$$\lim_{k \rightarrow 0} G_1(\vec{k}) \propto (T_c - T)^{-1} \propto \chi_1 \Rightarrow \gamma = 1$$

$$\lim_{k \rightarrow 0} G_\perp(\vec{k}) \propto \frac{m}{h}$$

在 $h \rightarrow 0$ 时发散! 没有 \hat{h} 方向外场时,
 $\frac{\partial m_\perp}{\partial h_\perp} \rightarrow \infty$. 对上方向外场敏感

计算比热: ($T \rightarrow T_c$, 从 T_c 向下)

$$C_S = -T \frac{d\gamma}{dT^2}$$

① $f_0 \propto (T - T_c)^2$, 提供一个有限的比热 (对称 $T > T_c$, $f_0 \rightarrow C = 0$)

② 横模部分没有贡献 (与温度无关)

③ 纵模:

$$C_S = 2^{\frac{d}{2}-2} \left[\frac{1}{2} \left(\frac{T \alpha'_2}{C} \right)^2 \frac{1}{(2\pi)^d} \int d^d k' (1+k'^2)^{-2} \right] \zeta^{4-d}$$

$$\propto C'_0 \zeta^{4-d}$$

$$\frac{1}{\zeta} = \left(\frac{\alpha'_2}{C} \right)^{\frac{1}{2}} |T - T_c|^{\frac{1}{2}}$$

总的来看, 关联函数, 玻色化率(从而), 比热的行为都由 ζ 决定.

$$T > T_c, \quad G(k) = A \frac{\zeta^2}{1 + k^2 \zeta^2}, \quad A = \frac{1}{2C}$$

$$\chi = G(0) = A \zeta^2 \quad C_S = C'_0 \zeta^{4-d}$$

$$T < T_c: \quad G_1(k) = A' \frac{\zeta^2}{1 + k^2 \zeta^2 / 2}, \quad \chi_1 = A' \zeta^2, \quad A' = \frac{1}{4C}$$

$$C_S = C'_0 \zeta^{4-d}$$

(3)

- $\zeta \propto |T-T_c|^{-\frac{1}{2}}$ 行为关联长度 (correlation length): 自旋距离 \sim 关联距离

从坐标空间关联函数看得更清楚

$$G(k) = A \frac{\zeta^2}{1+k^2 \zeta^2}$$

$$\langle \sigma(\vec{x}) \sigma(\vec{x}+\vec{r}) \rangle = \frac{1}{(2\pi)^d} \int dk \ G(k) e^{i\vec{k} \cdot \vec{r}} = \frac{A \zeta^{2d}}{(2\pi)^d} \int dk' \frac{e^{i\vec{k}' \cdot \vec{r}/\zeta}}{1+k'^2} \quad (k' = k/\zeta)$$

k' 空间上平均为 $1/\zeta$, $d=3$ 时

$$\boxed{\langle \sigma(\vec{x}) \cdot \sigma(\vec{x}+\vec{r}) \rangle \propto \frac{e^{-r/\zeta}}{r}}$$

ζ 是关联长度, $\nu = \frac{1}{2}$ \leftarrow 关联长度临界指数

奇偶性都由 $\zeta \rightarrow \infty$ 得到!

自由能密度: $f \sim \int dk \cdot \zeta^d \cdot \zeta^{-d} \propto \zeta^{-d}$

$$C \propto \frac{\delta f}{\delta T^2} = \frac{\delta^2 f}{\delta(T-T_c)^2}, \text{ 又 } \zeta^{-d} \propto (T-T_c)^{-\frac{1}{2-d\nu}}$$

$$\Rightarrow C \propto \zeta^{-d+2\nu} \propto (T-T_c)^{-\frac{1}{2}-d\nu}$$

PP $\boxed{\nu = 2-d\nu}$

以上通过计算 ζ 的幂次 (powers) 导出了标度律 \leftarrow 指临界指数之间关系.

- d 越小 C 越差越厉害, $d > 4$, 不发散 (跳跃)

$d \leq 2$, $n > 1$. for $i \neq 1$:

$$\langle \sigma_i(\vec{x}) \sigma_i(\vec{x}+\vec{r}) \rangle = \int \frac{dk}{(2\pi)^d} G_i(k) e^{i\vec{k} \cdot \vec{r}} = \int_0^\infty \frac{dk}{(2\pi)^d} \frac{k^{d-1}}{\left(\frac{h}{m} + c k^2\right)} \frac{e^{i\vec{k} \cdot \vec{r}}}{}$$

$$d=1, h \rightarrow 0, \text{ 上式} \propto \left(\frac{h}{m}\right)^{-\frac{1}{2}} \text{ 发散}$$

$$d=2, h \rightarrow 0, \text{ 上式} \propto \ln\left(\frac{h}{m}\right) \text{ 发散}$$

由于 $G_i(k)$ 幅度有限, G_i 对任意 h 都应该有限
 $\Rightarrow m$ 必须为零.

• Mermin-Wagner 定理的另一种形式.

$d=1, n=1$, m 也必须为零. 参见马士康, §3.7 节

(4)

• 量纲分析：定义 $\phi = c^{\frac{1}{2}} \sigma$, 改写 LG 作用量

$$S = \int d^d x \left[\frac{a_2}{2} \sigma^2 + \frac{a_4}{4!} \sigma^4 + \frac{c_0}{2} (\nabla \sigma)^2 \right] = \int d^d x \left[\frac{r_0}{2} \phi^2 + \frac{1}{4!} u_0 \phi^4 + \frac{1}{2} (\nabla \phi)^2 \right]$$

S 无量纲， e^{-S} 为 $[S]=1$

$$\left[\int d^d x (\nabla \phi)^2 \right] = 1 \Rightarrow L^d L^{-2} [\phi] = 1 \Rightarrow [\phi] = L^{1-d/2}$$

$$\left[\int d^d x r_0 \phi^2 \right] = 1 = \left[\int d^d x u_0 \phi^4 \right] \Rightarrow [r_0] = L^{-2}, [u_0] = L^{d-4}$$

且 $r_0 \propto T - T_c \propto \bar{\gamma}^{-2}$ 符合！

• $r_0^{-\frac{1}{2}}$ 是个长度尺度 (scale), 用 $r_0^{-\frac{1}{2}}$ 变量 = 用 $\bar{\gamma}$ 变量, 设 $L_0 \equiv r_0^{-\frac{1}{2}}$

• 定义无量纲量：

$$\varphi = \frac{\phi}{L_0^{1-d/2}}, \vec{r} = \frac{\vec{x}}{L_0}, \bar{u}_0 = \frac{u_0}{L_0^{d-4}}$$

$$\mathcal{Z} = \int d\varphi e^{-H_0 - H_{int}}$$

$$H_0 = \int d^d r \left[\frac{1}{2} (\nabla \varphi)^2 + \frac{1}{2!} \varphi^2 \right], H_{int} = \int d^d r \neq \bar{u}_0 \varphi^4$$

$$\mathcal{Z} = \int d\varphi e^{-H_0} (1 - H_{int} + \frac{1}{2!} (H_{int})^2 + \dots)$$

优化关于 \bar{u}_0 作。

$$\bar{u}_0 = u_0 r_0^{-(4-d)/2} = u_0 a_2' \frac{d-4}{2} \cdot t^{\frac{d-4}{2}}$$

当 $t \rightarrow 0, d < 4, \bar{u}_0 \rightarrow \infty!$

$d > 4, \bar{u}_0 \rightarrow 0$ MF 准确！

• 临界温度和量纲分析

$$\langle \phi(\vec{r}) \phi(\vec{r}') \rangle = \frac{\int d\varphi e^{-S} \phi(r) \phi(r')}{S d\varphi e^{-S}}$$

$$[\langle \phi(\vec{r}) \phi(\vec{r}') \rangle] = [\phi]^2 = L^{2-d}$$

$$G(k) = \int \langle \phi(r) \phi(r') \rangle e^{ik \cdot r} dr$$

$$[G(k)] = L^d \cdot L^{2-d} = L^2$$

假设我们改变单位 $L_0 \rightarrow L'_0 = bL_0$, 使得 $L'(bL_0) = L(L_0)$ 即 $L' = \frac{1}{b}L$

$$G(k) \rightarrow G'(k') = b^{-2} G(k) \quad (G' \cdot (bL_0)^2 = G \cdot L_0^2 \text{ 不变}) \quad (1)$$

$$\text{where: } k' = bk \quad (\because [k] = [L], k' \cdot \frac{1}{bL_0} = k \frac{1}{L_0})$$

称: $G(k)$ 的标度维数为“-2”, L 的标度维数为“-1”, k 的 scaling dim = 1

高斯还想告诉我们

$$G(k) = \frac{1}{r_0 + k^2}$$

考虑标度变换 $L_0 \rightarrow bL_0$, 则 $r'_0 = b^2 r_0$, $k'^2 = b^2 k^2$,

$$G'(k') = b^{-2} G(k)$$

符合一般性的结论 (1).

然而在 T_c , 我们知道 from 实验.

$$G(k) \propto k^{-2+\gamma}$$

即标度变换关系为

$$G'(k') = b^{-2+\gamma} G(k) \quad (2)$$

(1) 与 (2) 哪对就错?

再考虑 $[\zeta] = L$, 而 $[r_0] = L^2$, 又 $r_0 \propto t$

$$\Rightarrow \zeta \propto r_0^{-\frac{1}{2}} \propto t^{-\frac{1}{2}} \Rightarrow \nu = \frac{1}{2}$$

但我们知 $\nu \neq \frac{1}{2}$. (-般)

这是临界现象的最神奇的地方! 量纲分析失效!

答案是:

$$G(k, T_c) \propto a^\gamma k^{-2+\gamma} \quad (3)$$

a 是晶格常数. (或 $a = \frac{1}{\lambda}$, 分辨率, cut-off)

也就是说, 一定有另外一个长度尺度 (除 $r_0^{-\frac{1}{2}}$ 之外) 进入量纲分析, 并且该尺度是微观尺度 $\frac{1}{\lambda}$.

(3) 的标度变换为:

$$G'(k', T_c) = b^{-1} b^{-2+\gamma} a^\gamma k^{-2+\gamma} = b^{-2} G(k, T_c)$$

固定 k , 改变 a , $G \sim a^\gamma$; 固定 a , 改变 k , $G \sim k^{-2+\gamma}$

(6)

再来看对 ξ 的量纲分析：加上 $[a] = L$ ，利用 $r_0 \propto t$

$$\xi = r_0^{-\frac{1}{2}} f(r_0 a^2) \quad \leftarrow [r_0 a^2] = L^0$$

上式符合量纲分析。

当 $T \rightarrow T_c$, $r_0 a^2 \rightarrow 0$. 若 当 $x \rightarrow 0$, $f(x) \propto x^\theta$, θ 是某未知数.

则

$$\xi \propto t^{-\frac{1}{2} + \theta} a^{2\theta}$$

这样

$$\nu = \frac{1}{2} - \theta$$

并且量纲分析得以成立！ θ 也是一个 anomalous dimension !

一般人们认为，在 T_c 附近， $\xi \gg a$ ，可以忽略微观细节 a ，将 $\frac{a}{\xi}$ 代为 0.

后果是平均场或简单量纲分析结果。

然而前面的分析表明这是不对的，不能简单地 $f(\frac{a}{\xi}) \rightarrow f(0)$ ，或者说不能简单认为“在临界点附近，唯一重要的长度尺度是关联长度”。

而是“借助于”微观尺度 $\frac{1}{x}$ ，我们才“造出了” anomalous dimension .

数学上：当 $x = \frac{a}{\xi}$, $\lim_{x \rightarrow 0} f(x) = ?$

当 $f(x)$ 非奇异，比如 $f(x) = a_0 + a_1 x + a_2 x^2 + \dots = \sum_{n=0} a_n x^n$, 我们可以说

$$\lim_{x \rightarrow 0} f(x) = f(0) = a_0$$

当 $f(x)$ 奇异，结论是： $\lim_{x \rightarrow 0} f(x) \propto x^{-\sigma} \phi(x)$, $\phi(x)$ regular at $x \rightarrow 0$

(7)